

2169

Экз. чит. 60

ОБЪЕДИНЕННЫЙ  
ИНСТИТУТ  
ЯДЕРНЫХ  
ИССЛЕДОВАНИЙ

Дубна

2189



Математические проблемы

алгоритмы

И. Адам, Ю.Н. Денисов, А. Кокеш, В.Г. Чумин,  
П.Т. Шишлянников

СИСТЕМА АВТОМАТИЧЕСКОГО ИЗМЕРЕНИЯ  
СПЕКТРОВ КОНВЕРСИОННЫХ ЭЛЕКТРОНОВ  
НА МАГНИТНОМ  $\beta$ -СПЕКТРОМЕРЕ

1965

**2169**

**И. Адам, Ю.Н. Денисов, А. Кокеш, В.Г. Чумин,  
П.Т. Шишлянников**

**СИСТЕМА АВТОМАТИЧЕСКОГО ИЗМЕРЕНИЯ  
СПЕКТРОВ КОНВЕРСИОННЫХ ЭЛЕКТРОНОВ  
НА МАГНИТНОМ  $\beta$ -СПЕКТРОМЕТРЕ**

**Направлено в Изв. АН СССР**

**Научно-техническая  
библиотека  
ОИЯИ**

Измерение спектров конверсионных электронов является, как правило, весьма длительным процессом, требующим непрерывного ведения опыта в течение нескольких суток, а иногда и недель. Автоматизация этого процесса позволяет рационализировать труд физиков-экспериментаторов, исключить субъективные ошибки, практически неизбежные при длительной работе на спектрометре с ручным управлением и в ряде случаев, особенно при коротких экспозициях, сократить время, потребное для измерения интересующего участка спектра. В настоящей работе описывается система автоматического управления  $\beta$ -спектрометром типа "n/2" с железным сердечником, используемым в Радиохимической лаборатории ОИЯИ.

Устройство состоит из следующих функциональных блоков (см. рис. 1).

- а) стабилизированного источника питания обмоток электромагнита спектрометра<sup>1/1</sup>, в котором величина тока  $I_m$  может регулироваться как вручную (декадным делителем напряжения), так и автоматически при помощи реостата с релейным управлением;
- б) схем, анализирующих и регистрирующих информацию, поступающую со счетчиков;
- в) центральной схемы управления, синхронизующей работу пересчетных схем, вывод информации на печатающую машинку и изменение тока в обмотке электромагнита.

Эквивалентная схема входной части системы стабилизации и регулирования тока электромагнита показана на рис. 2. Принципиальные схемы декадного делителя и реостата с релейным управлением показаны соответственно на рис. 3 и 4. Номинальное значение тока магнита  $I_{mH}$  (когда  $U_{bx}=0$ ) для рассматриваемой схемы сравнения падения напряжения на эталонном сопротивлении  $U_{R_3} = I_{mH} R_3$  с эдс нормального элемента  $U_H$  может быть вычислено по формуле

$$I_{mH} = \frac{U_H}{R_3 R_{2\theta} R_0} (R_0 + r + R_{2\theta} + R_{3\theta}) [R_3 + R_{1\theta} + \frac{R_2(R_0 + R_{1\theta})}{R_0 + r + R_{2\theta} + R_{3\theta}}], \quad (1)$$

где  $R_1$ ,  $R_2$  и  $R_3$  - сопротивления, получающиеся в результате замены декадного делителя эквивалентной схемой "звезды". Из этого выражения следует, что при заданных неизменных значениях  $R_3$  и  $R_0$  величина тока  $I_{mH}$  может регулироваться

как декадным делителем, так и реостатом  $r$ . В описываемой системе значение тока магнита, соответствующее начальной точке исследуемого диапазона энергий электронов, устанавливается вручную при помощи декадного делителя. Дальнейшее изменение тока происходит автоматически при изменении сопротивления реостата  $r$ .

В начальный момент измерений величина  $r$  устанавливается равной нулю или  $r_{\max}$ . В первом случае ток  $I_m$  в дальнейшем будет увеличиваться, а во втором — уменьшаться. Начальное значение тока при  $r=0$  равно

$$I_{m0} = \frac{U_n}{R_{23} R_0} [R_s + R_{13} + \frac{R_{23}(R_0 + R_{39})}{R_0 + R_{23} + R_{39}}] (R_0 + R_{23} + R_{39}). \quad (2)$$

Величина относительного изменения тока магнита при увеличении сопротивления реостата определяется выражением

$$\frac{d I_m}{I_{m0}} = \frac{(R_s + R_{13} + R_{23}) dr}{R_s (R_0 + R_{23} + R_{39}) + R_{13} (R_0 + R_{23} + R_{39}) + R_{23} (R_0 + R_{39})}. \quad (3)$$

Следовательно, если сопротивление реостата  $r$  изменяется дискретно постоянными шагами по  $\Delta r = \text{const}$ , то ток магнита также будет изменяться скачками, причем относительное изменение тока  $\frac{\Delta I_m}{I_{m0}}$  не будет зависеть от величины  $r$ , т.е. будет постоянным во всем диапазоне автоматического изменения тока, что обеспечивает при постоянной относительной полуширине линий конверсионных электронов одинаковое число измеряемых точек, помещающихся на любой отдельной линии. Величина относительного изменения тока при каждом "шаге" изменяется выбором соответствующего значения сопротивления  $R_0$ . В рассматриваемом приборе  $\frac{\Delta I_m}{I_{m0}}$  может выбираться равным 0,01%; 0,02%; 0,03% или 0,04%. Из формулы (3) следует, что величина  $\frac{\Delta I_m}{I_{m0}}$  зависит также и от коэффициента деления декадного делителя напряжения  $K_d$ , однако, при выбранных величинах параметров схемы сравнения и коэффициенте деления не более 0,5 "шаг" изменяется не более, чем на 5-10%. Например, если при  $K_d=1$   $\frac{\Delta I_m}{I_{m0}}=0,01\%$  или 0,04%, то при  $K_d=0,5$ , соответственно,  $\frac{\Delta I_m}{I_{m0}}=0,00957\%$  и 0,0359%. На рис. 5 приведена осциллограмма переходного процесса, возникающего при автоматическом изменении тока в обмотках электромагнита спектрометра.

Для удобства управления в разработанной системе реостат выполнен в виде "двоичного" магазина сопротивлений, величина которых равна  $R_i = \Delta R \cdot 2^{i-1}$ , где  $i$  — номер сопротивления ( $i = 1, 2, \dots$ ). Схема управления в этом случае представляет собой двоичный счетчик (см. рис. 4), каждый из триггеров которого управляет реле, включающим или отключающим сопротивление  $R_i$  соответствующего разряда. Точность реализации линейного закона автоматического изменения тока магнита определяется в основном точностью изготовления сопротивлений реостата. Эти сопротивления наматывались

проводом ПШДТМ 0,15 и подгонялись с точностью, обеспечивающей неравномерность "шага" перестройки тока, не превышающую 2% от абсолютной величины "шага". На рис. 6 приведена зависимость относительного отклонения  $\delta$  величины тока магнита  $I_m$  после  $n$  "шагов" от величины тока, полученной при интерпретации

$$\delta = \frac{I_m - [n(\Delta I_m)_{\text{ср}} + I_{m0}]}{(\Delta I_m)_{\text{ср}}} \quad (4)$$

$$(\Delta I_m)_{\text{ср}} = \frac{I_{m\max} - I_{m0}}{n_{\max}}. \quad (5)$$

В описываемом приборе автоматически может устанавливаться до 256 значений тока магнита через любой из приведенных ранее интервалов (0,01%—0,04%). Таким образом, в одной серии измерений в зависимости от величины  $\frac{\Delta I_m}{I_{m0}}$ , может быть пройден интервал токов магнита до 2,5–10%. Для получения такого количества значений сопротивления реостата  $r$  он должен состоять из 8 сопротивлений, управляемых восьмиразрядным двоичным счетчиком (см. рис. 4). Счетчик выполнен на статических триггерах, в которых используются полупроводниковые триоды типа П16. Каждый триггер управляет соответствующей парой исполнительных реле, из которых Р1-Р8 переключают сопротивления реостата, а реле Р10-Р17 используются в схеме дешифрации состояний счетчика. Триггер Т9 служит для автоматической остановки цикла измерений. С помощью переключателя П3 он может подключаться к выходу 4, 5, 6, 7 или 8 триггера, что позволяет прерывать цикл измерений после 16, 32, 64, 128 или 256 значений тока магнита. Для возвращения схемы в начальное состояние необходимо нажать кнопку Кн1, которая управляет каскадом на триоде П25, формирующим импульс сброса триггеров Т1-Т8.

Запускается счетчик импульсами, поступающими от центральной схемы управления.

Направление автоматического изменения тока в цикле измерений определяется положением переключателя П2. В верхнем (см. схему на рис. 4) положении переключателя П2 ток увеличивается, а в нижнем — уменьшается.

Величина относительного изменения тока  $\frac{\Delta I_m}{I_{m0}}$  устанавливается переключателем П1.

Как показано на блок-схеме, импульсы со всех 3-х счетчиков спектрометра поступают на схему совпадения. Отобранные импульсы регистрируются пересчетной схемой № 4, а импульсы первого счетчика — пересчетом № 2. В установке используются пересчетные приборы типа ВМ 353а (Чехословакия). На рис. 7 приведена принципиальная схема одной декады этого прибора и вывод напряжений с правых ламп триггеров на контакты шаговогоискателя Ш-3, используемого в схеме опроса. Состояние "открыто" и "закрыто" правых половин ламп 6СС42 характеризуются, соответственно, напряже-

ниями 180 и 250 в. При поступлении напряжения 180 в на сетку используемой в схеме дешифрации лампы 6Н3П (см. рис. 8) триод остается закрытым, и реле в аноде лампы не сработает. Когда на сетку лампы 6Н3П подается 250 в, триод откроется, что приведет к срабатыванию соответствующего реле. Напряжение с триггеров первой декады подается на контакты второго ряда Ш-3, со второй декады – на контакты третьего ряда и т.д.

Второй пересчетный прибор устроен и работает точно так же, как и первый.

Схема регистрации состояний реле реостата и аналогична соответствующим схемам для декад пересчетных приборов. Отличия состоят только в том, что, поскольку десятичная дешифрация 8-разрядного двоичного счетчика достаточно громоздка, удобнее запись положения реле реостата вести в четверичной системе. Кроме того необходимо преобразовать положения реле реостата в напряжения, аналогичные напряжениям на анодах ламп в триггерах декад пересчетных схем. Это осуществляется делителями напряжения (см. рис. 8), где лампы имитируются контактами реле Р10, ..., Р17.

Схема центрального блока управления показана на рис. 9. После включения системы запускается часовое устройство, которое открывает пересчетные схемы на заданное оператором время экспозиции  $\Delta t$ . Конец экспозиции сопровождается сигналом, который запускает тактовый генератор с частотой в несколько герц. Импульсы тактового генератора используются для запуска схемы управления реостатом, дешифрации и вывода результатов измерений с декад пересчетных схем и для регистрации положения реле Р1-Р8 реостата. До включения установки шаговый искатель ШИ-1 находится в положении 1, и на ползунке III напряжение отсутствует. Система запускается оператором включением переключателя П6. Через этот переключатель на ползунок III ШИ-1 подключается напряжение, благодаря чему срабатывает реле Р18 (его контакты замкнутся и разомкнутся ввиду наличия цепочки  $R=62\text{ к}\Omega$  и  $C=4\text{ мкФ}$ ). Контакты реле Р18 включают датчик времени – часовое устройство марки "Орион-гом 1892" (Венгрия) с плавной регулировкой времени срабатывания от 1 до 3599 сек. Неточность определения экспозиции равна  $\pm 0,5$  сек для  $\Delta t = 1-60$  сек и  $\pm 1\%$  для  $\Delta t = 60-3599$  сек. При запуске датчика времени срабатывает реле Р24. Переключением контактов пк Р24 разрывается цепь питания генератора импульсов раньше, чем может возникнуть в нем первый импульс (на рис. 9 не показаны обмотки реле Р24 и контакты реле Р18). Одновременно сбрасываются в нулевое положение пересчетные схемы и открываются их вход. После истечения заданного времени  $\Delta t$  реле Р24 возвращается в исходное состояние, и пк Р24 подключает постоянное напряжение на генератор импульсов (см. диаграмму напряжений на рис. 10). Генератор импульсов выполнен на основе реле Р21 и Р22. При подаче напряжения на контакты рк 21а начинает заряжаться одна из емкостей (8 мкФ, 12 мкФ или 18 мкФ) через переключатель П4. Величина емкости определяет

частоту генерирования импульсов. После зарядки емкости срабатывает реле Р21, размыкается рк 21а, емкость 8 мкФ начинает разряжаться. При срабатывании Р21 замыкаются контакты эк Р21 в и срабатывают Р22, контакты пк Р22а переходят в левое по схеме положение, начинается зарядка емкости 50 мкФ через  $R=100\text{ }\Omega$ , пк Р22в переходят в левое положение и произойдет зарядка  $C=100\text{ мкФ}$ . Контакты пк Р22с переходят в правое положение и произойдет разрядка  $C=50\text{ мкФ}$ . Таким образом возникает импульс (см. рис. 10 ползунок ШИ-1 - II). После разряда  $C=8,0$  Р21 приходит в исходное положение, замыкаются рк Р21а, начинает заряжаться  $C=8\text{ мкФ}$  и размыкается эк Р22в, т.е. размыкается цепь обмотки электромагнита реле Р22 и контакты пк Р22в переходят в правое, пк Р22с и эк Р22а в левое положение – возникает импульс на ползунке ШИ-1- I и в обмотке якоря ШИ-1, который перебрасывает ШИ-1 в момент  $t_1$  в положение 2 (см. рис. 8 и 10).

Весь описанный процесс образования импульсов повторяется до тех пор, пока на рк Р21а подано напряжение. В положении 2 через ползунок ШИ-1 - I - III включается реле Р18, контакты которого, эк Р18, образуют импульс, поступающий в блок управления реостатом – производится изменение тока электромагнита спектрометра (этот импульс не показан на рис. 10). В момент  $t_2$  импульс, поступающий на обмотку электромагнита ШИ-1, переводит шаговый искатель в положение 3. В положении 3 производится запись положения реле реостата на цифропечатающую машинку. В положении 5 происходит запись показаний первой пересчетной схемы на цифропечатающую машинку. Принципы работы схемы центрального управления в положении 3 и 5 одинаковы, поэтому будут рассмотрены одновременно.

В положение 3(5) через ползунок ШИ-1 - II поступает импульс на обмотку якоря ШИ-2, блок регистрации положения реле цифрового реостата (ШИ-3, первая пересчетная схема) и перебрасывает ШИ-2 (ШИ-3) из положения 1 в положение 2. Тогда через ползунок ШИ-1 - IV разъемы А7, В6 (А9, С8) и ползунок ШИ-2-1 (ШИ-3-1), (см. рис. 7 и рис. 8), заземляется обмотка реле Р23. Контакты рк Р23а разрывают цепь обмотки электромагнита ШИ-1, контакты эк Р23в включают дешифратор. В это время через ползунки ШИ-2 - III, ШИ-2 - IV (ШИ-3 - II), ШИ-3 - III, ШИ-3 - IV, ШИ-3 - V подается напряжение на сетки ламп 6Н3П (см. рис. 10), которые открываются или остаются закрытыми, т.е. реле Р25, Р28, Р27, Р28 при помощи контактов пк Р25 пк Р26а, пк Р26в, пк Р26с, пк Р27в, пк Р28а и пк Р28в соединят нужную катушку в цифропечатающей машинке с ползунком ШИ-1-1. Импульс, идущий на ползунок ШИ-1-1, поступает на соленоид соответствующей цифры на цифропечатающей машинке. После этого импульс через ползунок ШИ-1 - II поступает на обмотку ШИ-2 (ШИ-3), и шаговый искатель ШИ-2 (ШИ-3) переходит в положение 3. В этот момент реле Р25, Р28, Р27, Р28 будут находиться в положениях, соответствующих положениям

реле Р8, Р7 реостата (положениям триггеров во второй декаде первой пересчетной схемы) и т.д. Это повторяется до тех пор, пока ШИ-2 (ШИ-3) не перейдет в положение 8 (7), когда разрывается заземляющий провод обмотки Р23 и контакт рк Р23а подключает обмотку электромагнита ШИ-1 к генератору импульсов. Одновременно контакт эк Р23в подключает дешифратор.

В момент времени  $t_3$  ШИ-1 переходит в положение 4 (свободное положение).

В момент времени  $t_4$  ШИ-1 перебрасывается в положение 5 (действие схемы в этом положении рассмотрено выше).

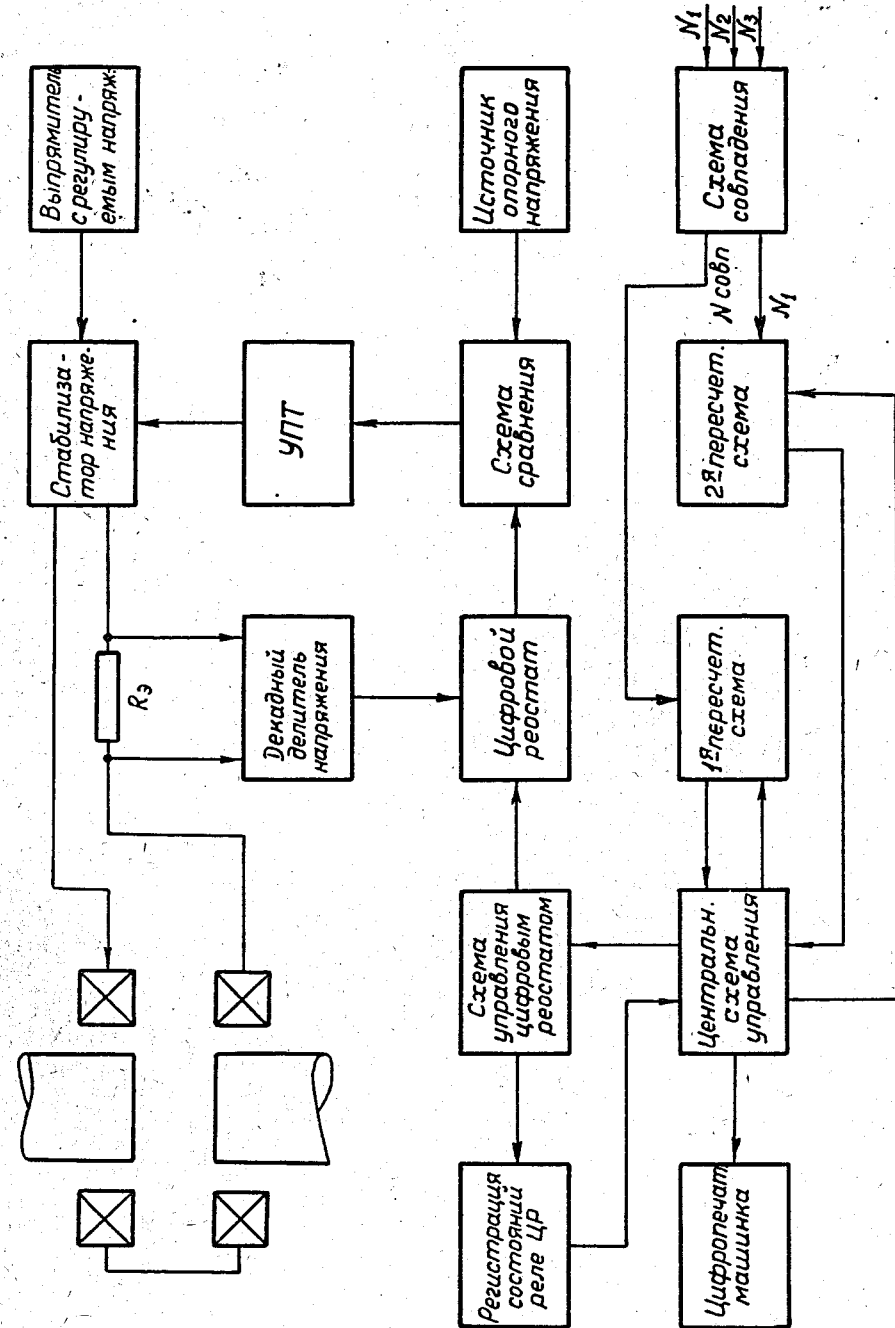
Шаговый искатель ШИ-1 в положение 6 переходит в момент времени  $t_5$ . В этом положении импульс, поступающий через ШИ-1-1, заставляет сработать соленоид кнопки Б, и происходит запись положения реле цифрового реостата (в четырехичной системе) и запись числа импульсов из первого пересчетного прибора (в десятичной системе). Кнопка А во время записи цифропечатающей машинки блокирует генератор импульсов. Если включен переключатель ПБ, то в положении 7 и 8 ШИ-1 происходит снятие и запись показаний 2-го пересчетного прибора, так же как в положении 5 и 6. При выключенном ПБ положения 7 и 8 свободны. Остановка работы центральной схемы управления проходит при размыкании контактов рк Р9, т.е. после прохождения всего выбранного участка спектра.

Разработанная система введена в непрерывную эксплуатацию в сентябре 1964 года. Восемь месяцев непрерывной работы показали, что система достаточно надежна, удобна в эксплуатации и позволяет при работе короткими экспозициями существенно сократить время измерения.

#### Л и т е р а т у р а

1. И. Адам, Ю.Н. Денисов, С.А. Ивашкевич, М.Фингер. Препринт ОИЯИ № 1589, 1964.

Рукопись поступила в издательский отдел  
12 мая 1965 г.



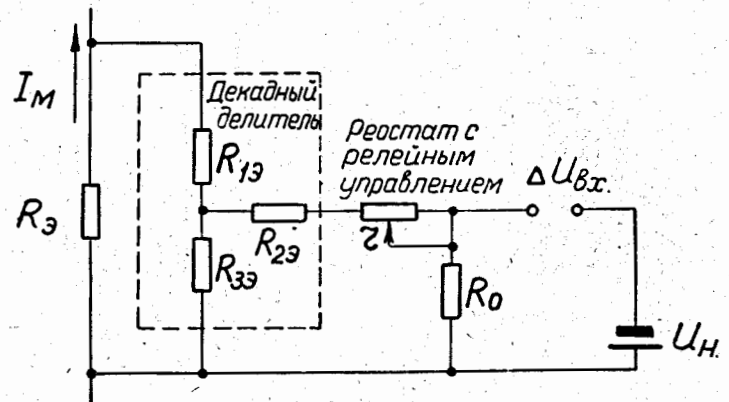


Рис. 2.

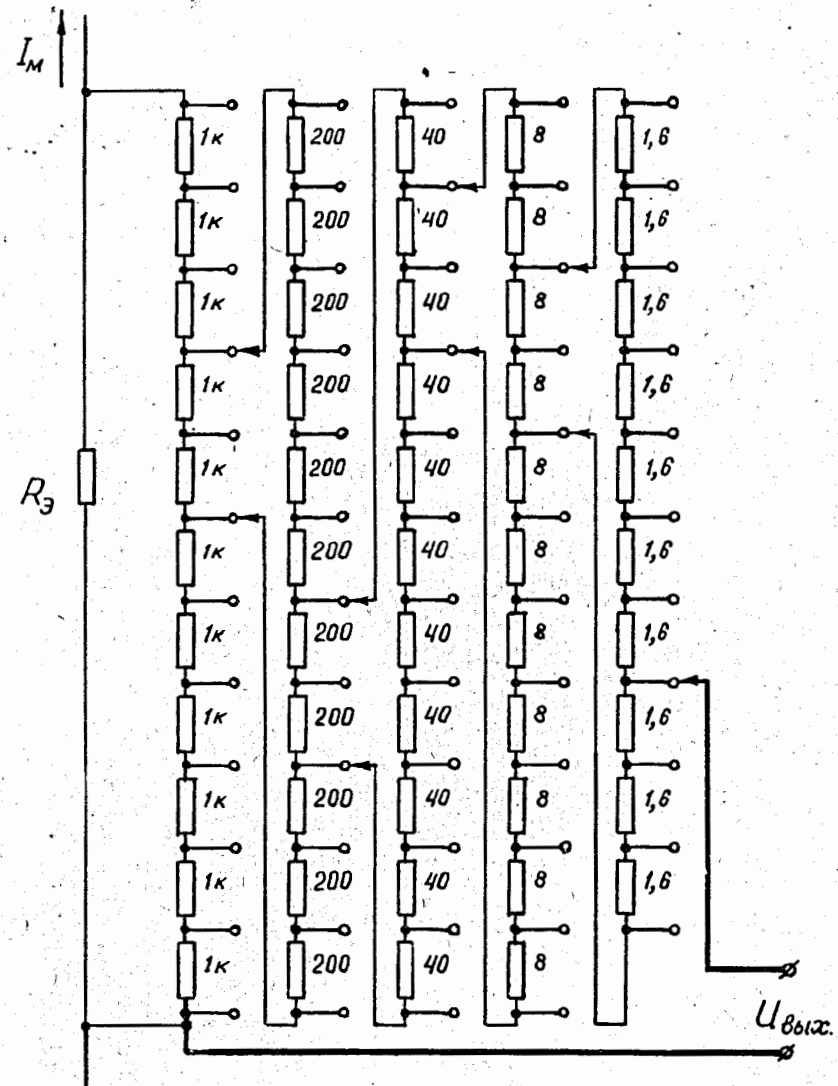


Рис. 3.

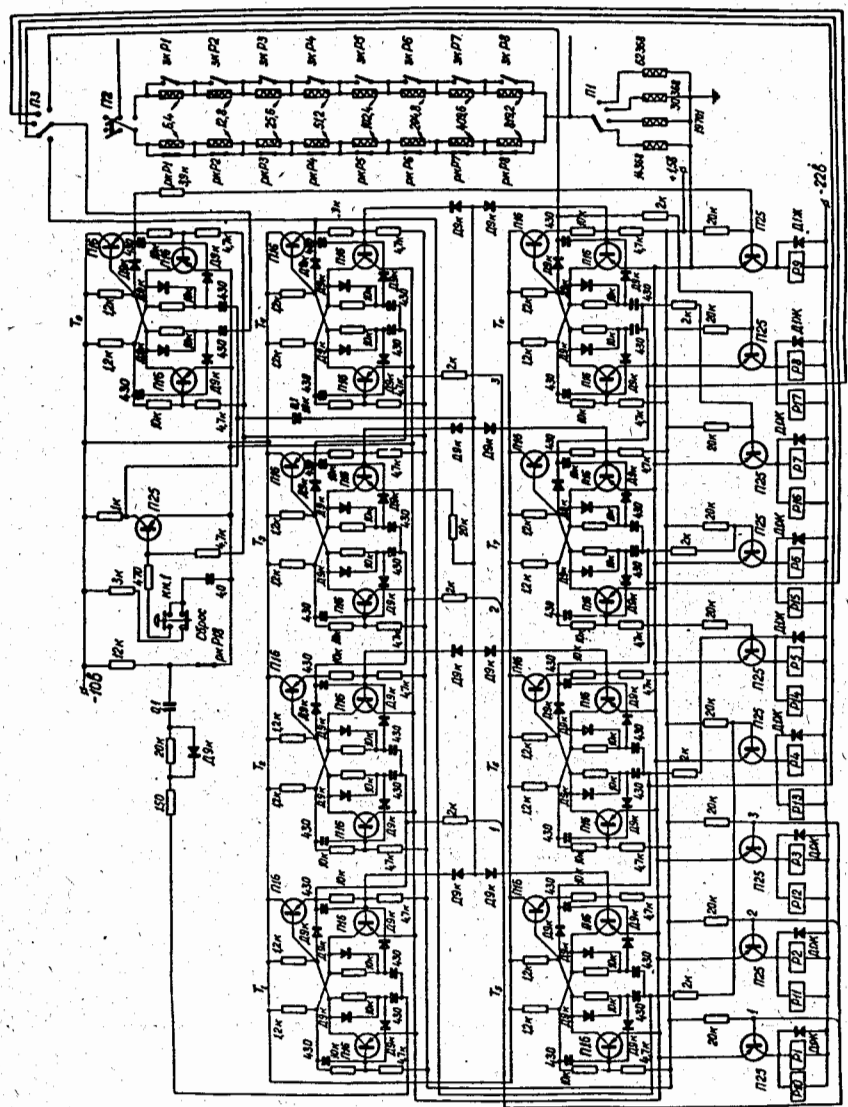


Рис. 4.

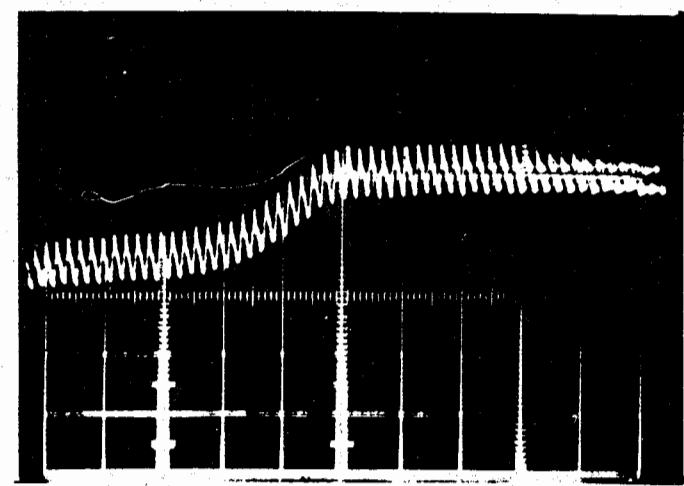


Рис. 5.

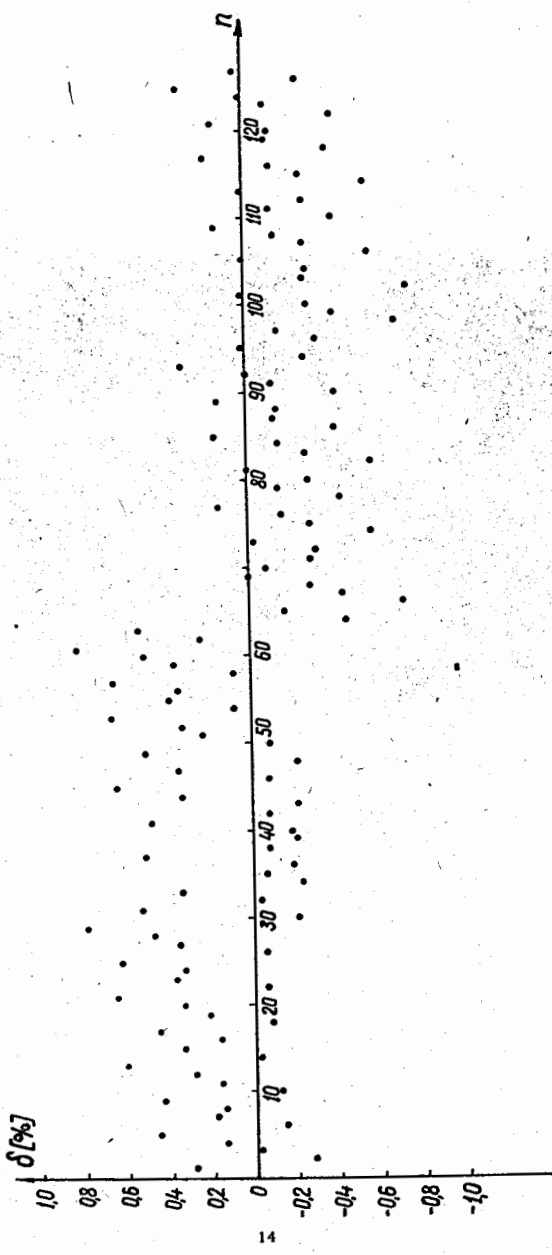
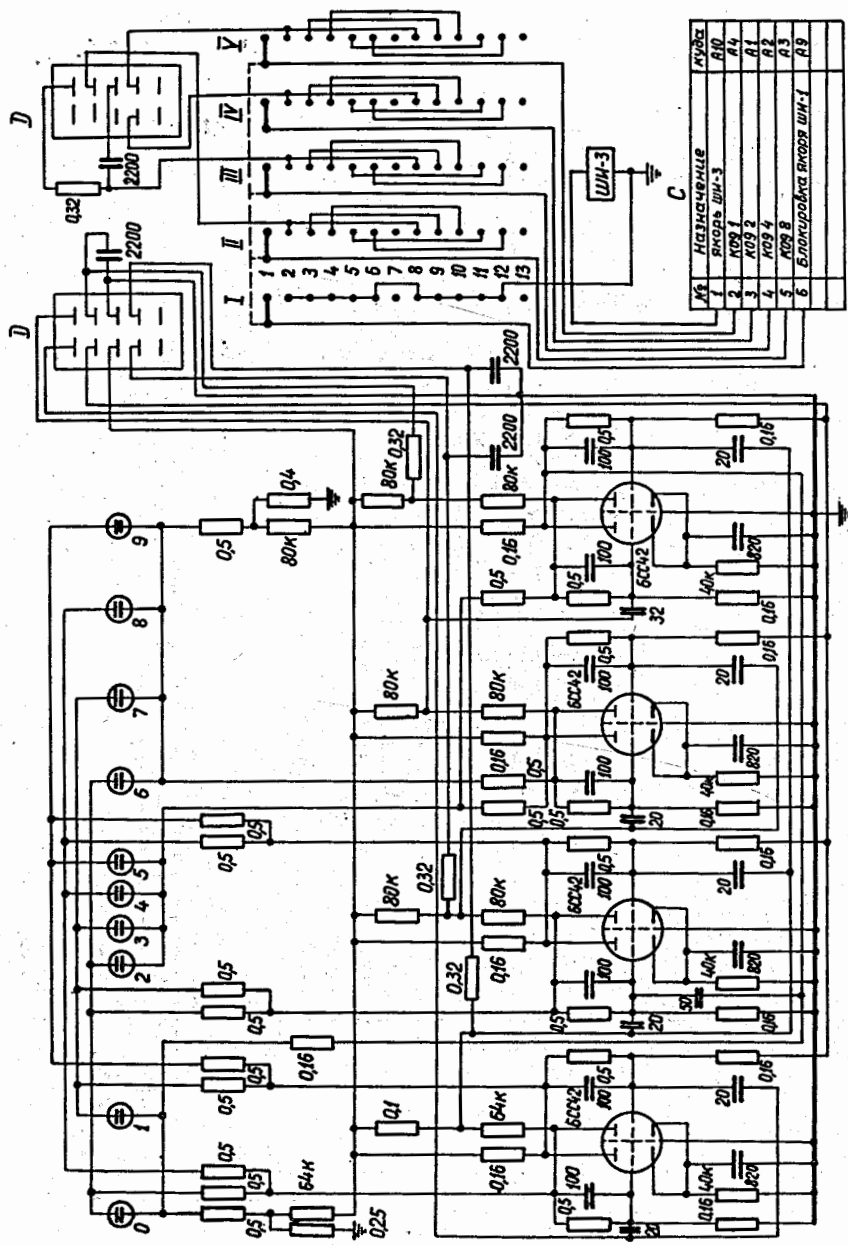


Рис. 6.



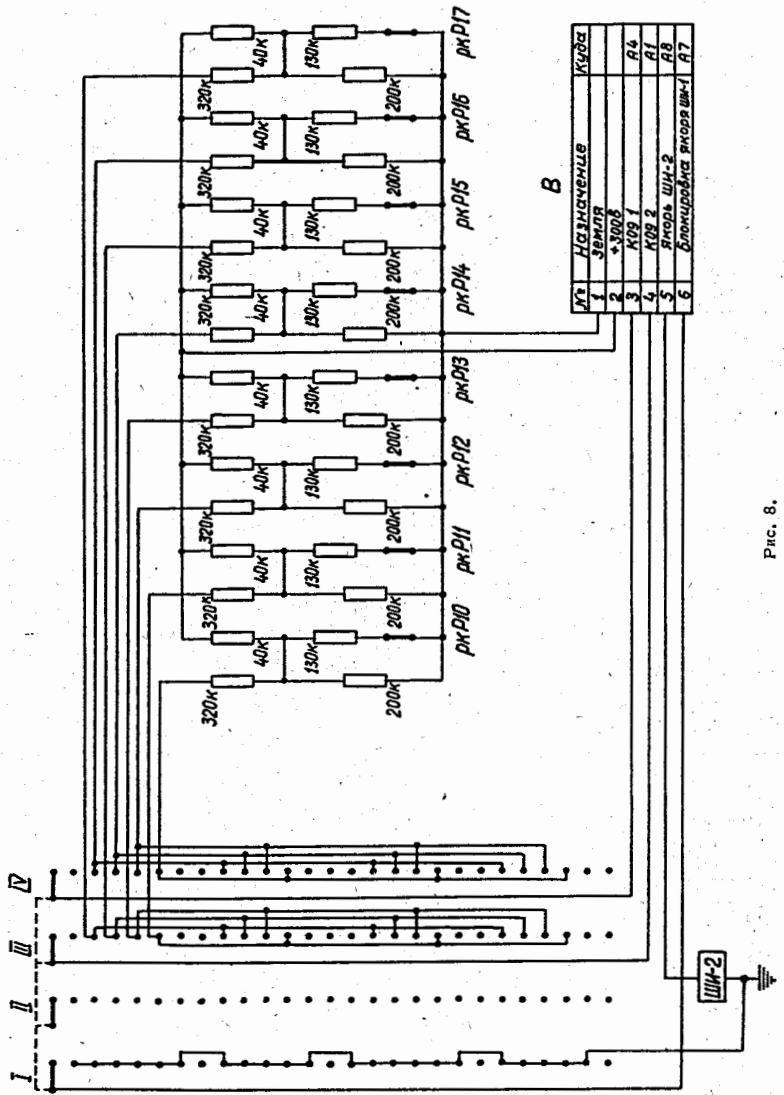
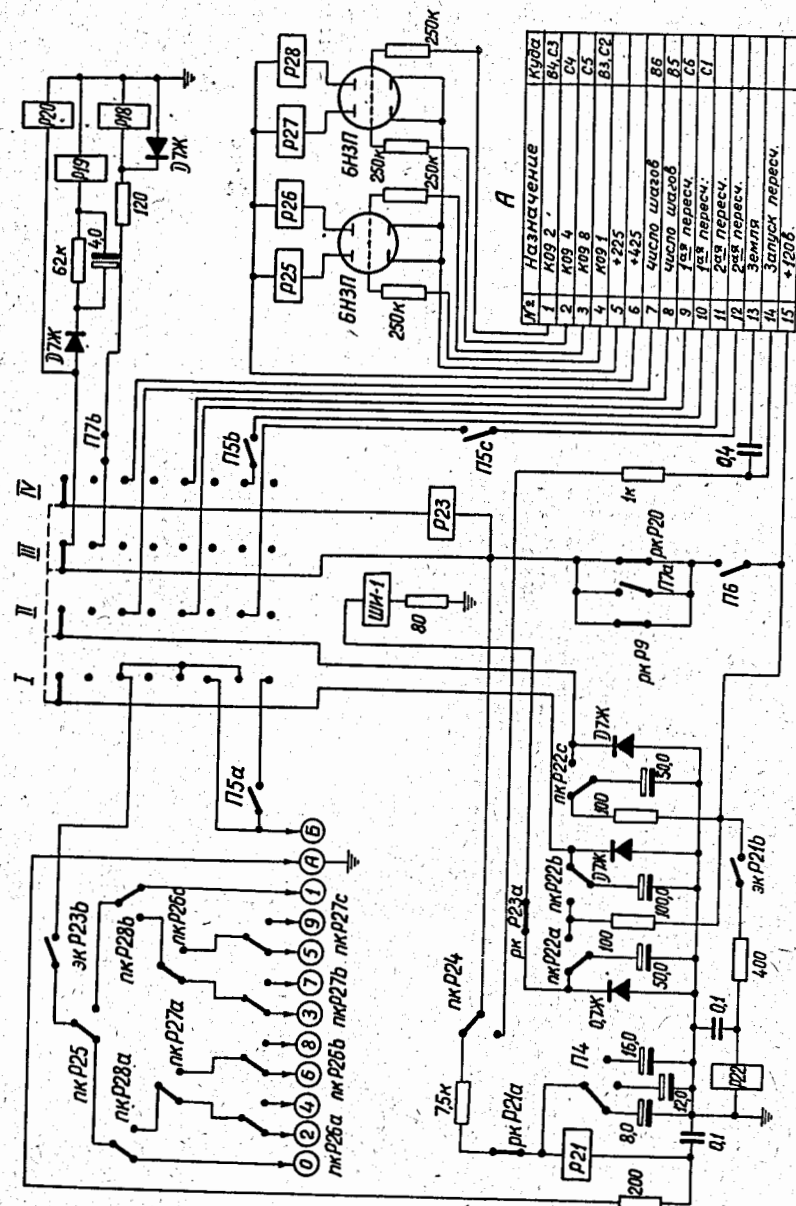


Рис. 8.



Page 8

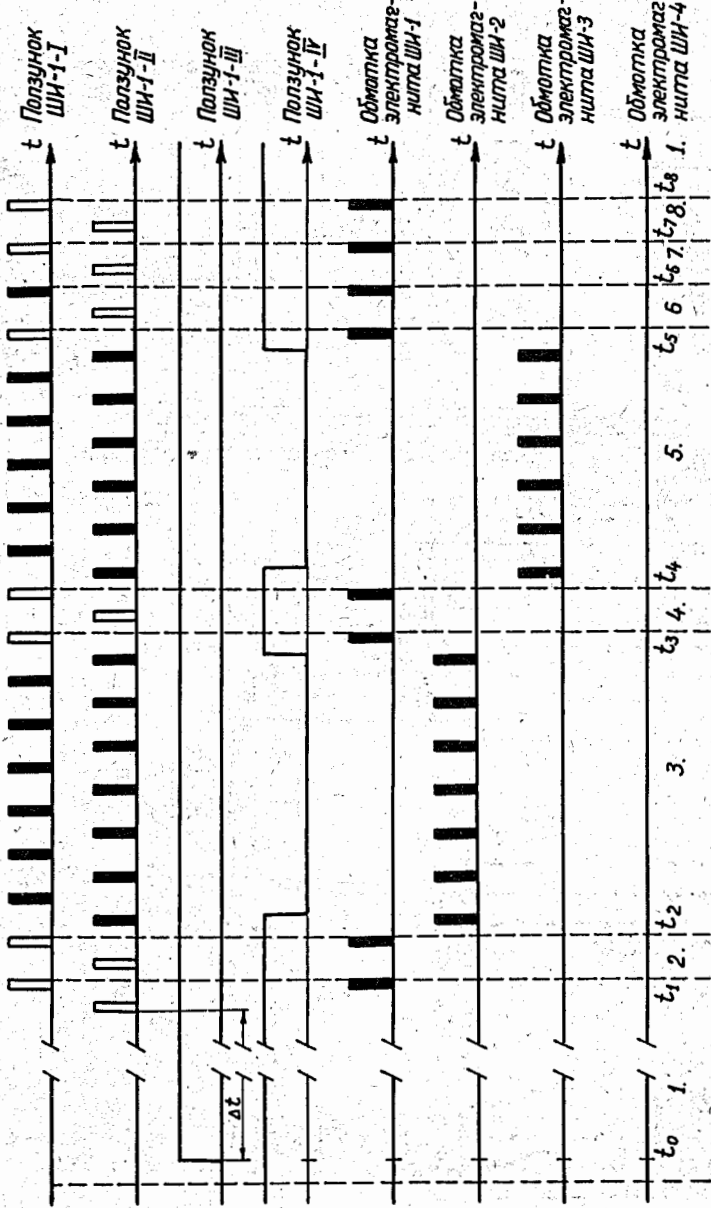


Рис. 10.